

01;09

Влияние скин-эффекта на поглощение электромагнитного излучения мелкой металлической частицей

© И.О. Моисеев, А.А. Юшканов, Ю.И. Яламов

Московский государственный областной университет,
107005 Москва, Россия
e-mail: miosw@hotmail.ru

(Поступило в Редакцию 16 мая 2003 г.)

Вычислено сечение поглощения электромагнитного излучения в металлической частице сферической формы. Проведен последовательный учет влияния скин-эффекта на сечение поглощения при произвольном соотношении длины свободного пробега и размеров частицы. Приведено сравнение результатов с ранее известными, полученными в рамках классической электродинамики. Показано, что учет кинетических эффектов приводит к существенной модификации известных результатов по скин-эффекту в сферической частице.

Введение

Мелкие металлические частицы, радиус R которых сравним с длиной свободного пробега Λ электронов в металле, по своим оптическим свойствам отличаются от более крупных (макроскопических) образцов металла. Такие их характеристики, как сечение поглощения, не могут быть описаны уравнениями макроскопической электродинамики, так как обнаруживают нетривиальную зависимость от отношения R/Λ [1,2].

До сих пор в рамках кинетического подхода рассматривались мелкие частицы, у которых радиус R существенно меньше глубины скин-слоя δ , что позволяет пренебречь скин-эффектом [3–6].

В данной работе для расчета сечения поглощения мелкой металлической частицей сферической формы используется моментный метод решения кинетического уравнения для электронов в металле. Формулируются вариационные моментные граничные условия для электронов проводимости. Решается совместная система уравнений Максвелла для электромагнитного поля и кинетического уравнения для электронов в металле, что позволяет провести последовательный учет влияния скин-эффекта на сечение поглощения.

Постановка задачи

Предполагается, что мелкая металлическая частица (ММЧ) находится в поле плоской электромагнитной волны $\mathbf{H} = \mathbf{H}_0 \exp(-i\omega t)$. Радиус частицы считается много меньше длины волны, поэтому неоднородность внешнего поля H_0 не учитывается. Эта волна индуцирует вихревое электрическое поле внутри частицы. В отсутствие экранирования (скин-эффекта) вихревое электрическое поле имеет вид

$$\mathbf{E}_0 = \omega[\mathbf{H}_0 \mathbf{r}]/(2ic) \exp(-i\omega t),$$

где c — скорость света, H_0 — магнитное поле, ω — частота электромагнитной волны.

Вихревое электрическое поле порождает вихревые токи внутри частицы, что ведет к поглощению частицей электромагнитной энергии. Электрическое поле вызывает отклонение f_1 функции f распределения электронов от равновесной функции Ферми f_0 [3,4,6]

$$f_0 = \begin{cases} 1, & 0 \leq \varepsilon \leq \varepsilon_f, \\ 0, & \varepsilon_f < \varepsilon, \end{cases}$$

где $\varepsilon = mV^2/2$ — энергия электронов, имеющих эффективную массу m и скорость V ; $\varepsilon_f = mV_f^2/2$ — энергия Ферми для электронов.

Введем сферическую систему координат с центром в центре частицы и полярной осью вдоль направления магнитного поля \mathbf{H}_0 . Считается, что температура много меньше температуры вырождения электронного газа и ферми-поверхность имеет сферическую форму. Сечение поглощения σ электромагнитной энергии в частице можно определить по следующей формуле [7]

$$\sigma = \frac{1}{2} \left(\frac{8\pi}{cH_0^2} \right) \text{Re} \int \mathbf{j}_\varphi \mathbf{E}_\varphi^* d^3r, \quad (1)$$

где j_φ — φ -я составляющая вихревого тока внутри частицы, E_φ^* — комплексно-сопряженная величина φ -й составляющей электрического поля внутри частицы, r — текущий радиус.

Функции j_φ и E_φ^* выражаются через функцию f_1 . Рассмотрим случай чисто диффузного рассеяния электронов на поверхности частицы [7]

$$f_1(\mathbf{r}, \mathbf{V}) = 0 \quad \text{при } |r| = R \quad \text{и} \quad \mathbf{r} \cdot \mathbf{V} < 0. \quad (2)$$

В линейном по внешнему полю приближении функция f_1 удовлетворяет кинетическому уравнению Больцмана для электронов, в котором интеграл столкновений взят в приближении времени релаксации [7,8]

$$-i\omega f_1 + \mathbf{V} \frac{\partial f_1}{\partial \mathbf{r}} + e\mathbf{V}\mathbf{E} \frac{\partial f_0}{\partial \varepsilon} = -\frac{f_1}{\tau}, \quad (3)$$

где e — заряд электрона, τ — время релаксации.

Математическая модель и расчет

Ввиду симметрии задачи выражение (3) удобно записать в сферических координатах [9]

$$\begin{aligned} \frac{\partial f_1}{\partial t} + V_r \frac{\partial f_1}{\partial r} + \frac{V_\varphi}{r \sin \Theta} \frac{\partial f_1}{\partial \varphi} + \frac{V_\Theta}{r} \frac{\partial f_1}{\partial \Theta} \\ + \frac{V_\varphi^2 + V_\Theta^2}{r} \frac{\partial f_1}{\partial V_r} - \left(\frac{V_\varphi V_\Theta}{r} \operatorname{ctg} \Theta + \frac{V_r V_\varphi}{r} \right) \frac{\partial f_1}{\partial V_\varphi} \\ + \left(\frac{V_\varphi^2}{r} \operatorname{ctg} \Theta - \frac{V_r V_\Theta}{r} \right) \frac{\partial f_1}{\partial V_\Theta} + e V_\varphi E_\varphi \frac{\partial f_0}{\partial \varepsilon} = -\frac{f_1}{\tau}, \quad (4) \end{aligned}$$

где V_r , V_φ и V_Θ — компоненты скоростей по соответствующим сферическим координатам r , φ и Θ .

Для решения уравнения (4) воспользуемся моментным методом [9]. При этом функцию f_1 представим в виде комбинации моментов C_r и $C_r C_\varphi$

$$f_1 = \exp(-i\omega t) \delta(\varepsilon_f - \varepsilon) (a_1(r) C_\varphi + a_2(r) C_\varphi C_r) \sin \Theta,$$

где $\delta(\varepsilon_f - \varepsilon) = \delta(V - V_f)/(mV_f) = \delta(C - 1)/mV_f^2$ — дельта-функция Дирака; $a_1(r)$ и $a_2(r)$ — коэффициенты при моментах, $C_r = V \cos \alpha / V_f$, $C_\varphi = V \sin \alpha \cos \beta / V_f$ — безразмерные компоненты скоростей, α и β — углы в пространстве скоростей.

С учетом последнего функцию f_1 можно представить следующим образом:

$$f_1 = \frac{\exp(-i\omega t)}{mV_f^2} \delta(C - 1) (a_1(r) C_\varphi + a_2(r) C_\varphi C_r) \sin \Theta.$$

Умножим уравнение (4) последовательно на C_φ , $C_r C_\varphi$ и проинтегрируем по всему пространству скоростей. После некоторых преобразований получим следующие уравнения:

$$10\nu a_1 + 6 \frac{V_f}{r} a_2 + 2V_f \frac{\partial a_2}{\partial r} = 10eV_f \Psi_1,$$

$$\frac{V_f}{r} a_1 - V_f \frac{\partial a_1}{\partial r} - \nu a_2 = 0.$$

Здесь $\nu = 1/\tau - i\omega$; Ψ_1 — электрическое поле внутри частицы, которое в отсутствие экранировки будет иметь вид $\Psi_1^0 = i\omega H_0 r / (2c)$; Ψ_2 — электрическое поле вне частицы. Введем следующие безразмерные величины:

$$\Phi_1 = \frac{\Psi_1}{H_0}; \quad \alpha_1 = \frac{a_1}{RH_0 e}; \quad \alpha_2 = \frac{a_2}{RH_0 e};$$

$$\xi = \frac{r}{R} \quad (0 \leq \xi \leq 1); \quad x = \frac{R}{\tau V_f}; \quad y = \frac{R\omega}{V_f}.$$

После подстановки и соответствующих преобразований получим систему уравнений

$$\begin{cases} 10z\alpha_1 + 6 \frac{\alpha_1}{\xi} + 2 \frac{\partial \alpha_2}{\partial \xi} = 10\Phi_1, \\ \frac{\alpha_1}{\xi} - \frac{\partial \alpha_1}{\partial \xi} - z\alpha_2 = 0. \end{cases} \quad (5)$$

Из этой системы уравнений можно получить следующее уравнение для функции $\alpha_1(\xi)$

$$\frac{\partial}{\partial \xi} \left(\xi^2 \frac{\partial \alpha_1}{\partial \xi} \right) - 2\alpha_1 = 5z^2 \xi^2 \alpha_1 - 5\Phi_1 z \xi^2. \quad (6)$$

Обозначая поле вне частицы через Ψ_2 , уравнения Максвелла для поля внутри частицы Ψ_1 и поля вне частицы Ψ_2 будут иметь вид

$$\begin{cases} \frac{\partial}{\partial r} \left(r^2 \frac{\partial \Psi_1}{\partial r} \right) - 2\Psi_1 = i\omega \frac{4\pi}{c^2} j_\Phi r^2, \\ \frac{\partial}{\partial r} \left(r^2 \frac{\partial \Psi_2}{\partial r} \right) - 2\Psi_2 = 0. \end{cases} \quad (7)$$

Рассмотрим формулировку моментных граничных условий для функции распределения. Отметим, что для средней диссипируемой в частице мощности \bar{Q} справедливо выражение

$$\begin{aligned} \frac{1}{2} \operatorname{Re} \int \mathbf{jE}^* d^3r = 2 \frac{m^3}{h^3} \left(\frac{1}{2\tau} \operatorname{Re} \int \delta(V - V_f) \frac{\varphi_1 \varphi_1^*}{mV_f} d^3V d^3r \right. \\ \left. + \frac{1}{4} \operatorname{Re} \int \frac{\delta(V - V_f)}{mV_f} V_r \varphi_1 \varphi_1^* d^3V dS \right). \end{aligned}$$

Здесь функция φ_1 определена следующим соотношением:

$$f_1 = \frac{\partial f_0}{\partial \varepsilon} \varphi_1 = \frac{d(V - V_f)}{mV_f} \varphi_1.$$

Второе слагаемое в правой части выражения для диссипируемой мощности можно представить в виде суммы двух членов, описывающих поток энергии, переносимый электронами, падающими на поверхность и отраженными от нее,

$$\begin{aligned} \frac{1}{4} \operatorname{Re} \int \frac{\delta(V - V_f)}{mV_f} V_f f_1 f_1^* V dS \\ = \frac{1}{4} \operatorname{Re} \int \frac{\delta(V - V_f)}{mV_f} V_f f_1 f_1^* d^3V dS \\ + \frac{1}{4} \operatorname{Re} \int \frac{\delta(V - V_f)}{mV_f} V_f f_1 f_1^* d^3V dS. \end{aligned}$$

При условии чисто диффузного отражения электронов от поверхности (2) второе слагаемое в правой части этого соотношения должно пропадать. В соответствии с этим мы будем минимизировать вклад этого слагаемого. В результате получаем следующие граничные условия на поверхности частицы для величин Ψ_1 и Ψ_2 :

$$\begin{aligned} \Psi_1|_{r=R} = \Psi_2|_{r=R}; \quad \frac{\partial \Psi_1}{\partial r}|_{r=R} = \frac{\partial \Psi_2}{\partial r}|_{r=R}; \quad \alpha_1 = \frac{1}{\sqrt{3}} \alpha_2 \\ \Phi_1|_{\xi=1} = \Phi_2|_{\xi=1}; \quad \frac{\partial \Phi_1}{\partial \xi}|_{\xi=1} = \frac{\partial \Phi_2}{\partial \xi}|_{\xi=1}; \quad \alpha_1 = \frac{1}{\sqrt{3}} \alpha_2. \end{aligned} \quad (8)$$

Отметим, что соответствующая ошибка в вычислении потоков при использовании таких граничных условий составляет 4%. Плотность тока j_φ можно представить в виде [9]

$$j_\varphi = 2 \left(\frac{m}{h} \right)^3 e \int V_\varphi f_1 d^3V = \frac{8em^2\pi V_f^2}{3h^3} a_1(r) = \frac{8e^2 H_0 R m^2 \pi V_f^2}{3h^3} \alpha_1(\xi). \quad (9)$$

Введем безразмерную величину $w^2 = 32\pi^2 e^2 R^2 \times m^2 V_f^3 / (3h^3 c^2)$. При этом систему (7) уравнений для полей, учитывая (9), можно переписать в виде

$$\begin{cases} \frac{\partial}{\partial \xi} \left(\xi^2 \frac{\partial \Phi_1}{\partial \xi} \right) - 2\Phi_1 = -iyw^2 \xi^2 \alpha_1, \\ \frac{\partial}{\partial \xi} \left(\xi^2 \frac{\partial \Phi_2}{\partial \xi} \right) - 2\Phi_2 = 0. \end{cases} \quad (10)$$

Из первого уравнения системы (10) следует, что влияние токов проводимости на поведение поля внутри частицы при заданной частоте пропорционально w^2 . С ростом величины w растет степень взаимодействия токов проводимости внутри частицы с переменным электромагнитным полем. Таким образом, именно эта величина характеризует степень влияния скин-эффекта на поглощение электромагнитного излучения частицей.

Рассмотрим поведение поля и электронов внутри частицы, описываемое системой уравнений

$$\begin{cases} \frac{\partial}{\partial \xi} \left(\xi^2 \frac{\partial \Phi_1}{\partial \xi} \right) - 2\Phi_1 = -iyw^2 \xi^2 \alpha_1, \\ \frac{\partial}{\partial \xi} \left(\xi^2 \frac{\partial \alpha_1}{\partial \xi} \right) - 2\alpha_1 = 5z^2 \xi^2 \alpha_1 - 5\Phi_1 z \xi^2. \end{cases}$$

Произведем замену $-iyw^2 = l_{21}$, $-5z = l_{11}$, $5z^2 = l_{12}$. В результате получим

$$\begin{cases} \frac{\partial}{\partial \xi} \left(\xi^2 \frac{\partial \Phi_1}{\partial \xi} \right) - 2\Phi_1 = l_{21} \xi^2 \alpha_1, \\ \frac{\partial}{\partial \xi} \left(\xi^2 \frac{\partial \alpha_1}{\partial \xi} \right) - 2\alpha_1 = l_{12} \xi^2 \alpha_1 + l_{11} \Phi_1 \xi^2. \end{cases} \quad (11)$$

Решение системы (11) будем искать в виде $\Phi_1 = K \cdot \alpha_1$, где K — некоторый коэффициент. Обозначим через Ω следующий оператор

$$\xi^2 \frac{\partial}{\partial \xi} \left(\xi^2 \frac{\partial}{\partial \xi} \right).$$

Таким образом, систему (11) можно записать так:

$$\begin{cases} \Omega \Phi_1 = l_{21} \frac{\Phi_1}{K}, \\ \Omega \Phi_1 = l_{12} K \Phi_1 + l_{11} \Phi_1. \end{cases}$$

Сравнивая эти выражения, получаем $l_{21}/K = K \cdot l_{11} + l_{12}$.

Из этого квадратного уравнения находим значения коэффициента K .

$$K_1 = \frac{-l_{12} + \sqrt{l_{12}^2 + 4l_{11}l_{21}}}{2l_{11}},$$

$$K_2 = \frac{-l_{12} - \sqrt{l_{12}^2 + 4l_{11}l_{21}}}{2l_{11}}.$$

Подставляя вместо l_{11} , l_{12} и l_{21} их значения, имеем для K_1 и K_2

$$K_1 = \frac{z}{2} \left(1 - \sqrt{1 + \frac{4iyw^2}{5z^3}} \right),$$

$$K_2 = \frac{z}{2} \left(1 + \sqrt{1 + \frac{4iyw^2}{5z^3}} \right).$$

Теперь, решая первое дифференциальное уравнение системы (11) и учитывая, что K имеет два решения, а также соотношения $\Phi_1 = K_{1,2} \cdot \alpha_1$ и $l_{21}/K_{1,2} = -\gamma_{1,2}^2$, получаем

$$\frac{\partial}{\partial \xi} \left(\xi^2 \frac{\partial \Phi_1}{\partial \xi} \right) - 2\Phi_1 = \frac{l_{21}}{K_{1,2}} \xi^2 \Phi_1 = -\gamma_{1,2}^2 \Phi_1 \xi^2.$$

Общее решение для Φ_1 имеет вид $\Phi_1 = \chi_1 \cdot C_1 + \chi_2 \cdot C_2$, где C_1 и C_2 — некоторые коэффициенты, которые могут быть найдены из граничных условий (8),

$$\chi_{1,2} = \frac{(\gamma_{1,2}\xi + i) \exp(i\gamma_{1,2}\xi) + (\gamma_{1,2}\xi - 1) \exp(-i\gamma_{1,2}\xi)}{\xi^2}.$$

В дальнейшем нам понадобятся производные от χ_1 и χ_2 . Они имеют следующий вид:

$$\chi'_{1,2} = \frac{(i\gamma_{1,2}^2 \xi^2 - 2\gamma_{1,2}\xi - 2i) \exp(i\gamma_{1,2}\xi)}{\xi^3} + \frac{(-i\gamma_{1,2}^2 \xi^2 - 2\gamma_{1,2}\xi + 2i) \exp(-i\gamma_{1,2}\xi)}{\xi^3}.$$

Определим вид коэффициентов C_1 и C_2 из граничных условий (8). Из решения второго дифференциального уравнения системы (10) (поле вне частицы) имеем, что $\Phi_2 = iyV_f \xi / (2c) + C_3 / \xi^2$, где C_3 — некоторый коэффициент.

Так как $\alpha_1 = \Phi_1 / K_{1,2}$, то

$$\alpha_1 = \frac{C_1}{K_1} \chi_1 + \frac{C_2}{K_2} \chi_2,$$

$$\alpha_2 = \frac{C_1}{zK_1} \left(\frac{\chi_1}{\xi} - \chi'_1 \right) + \frac{C_2}{zK_2} \left(\frac{\chi_2}{\xi} - \chi'_2 \right).$$

Подставим в граничные условия (8) выражения для Φ_1 , Φ_2 и α_1 , α_2 . При $\xi = 1$ получается следующая система уравнений:

$$\begin{cases} C_1\chi_1 + C_2\chi_2 = \frac{iyV_f}{2c} + C_3, \\ C_1\chi'_1 + C_2\chi'_2 = \frac{iyV_f}{2c} - 2C_3, \\ \frac{C_1}{K_1}\chi_1 + \frac{C_2}{K_2}\chi_2 = \frac{C_1}{\sqrt{3z}K_1}(\chi_1 - \chi'_1) + \frac{C_2}{\sqrt{3z}K_2}(\chi_2 - \chi'_2). \end{cases}$$

Решая ее, находим выражения для C_1 , C_2 и C_3 или, выражая через S_1 и S_2 ,

$$C_1 = \frac{3yV_f}{2c} S_1, \quad C_2 = \frac{3yV_f}{2c} S_2,$$

$$C_3 = C_1\chi_1 + C_2\chi_2 - \frac{iyV_f}{2c} = \frac{3yV_f}{2c} \left(S_1\chi_1 + S_2\chi_2 - \frac{i}{3} \right),$$

где

$$S_1 = \frac{i}{\frac{K_2}{K_1} \left(\frac{\chi_1 - \frac{\chi_1}{\sqrt{3z}} + \frac{\chi'_1}{\sqrt{3z}}}{\frac{\chi_2}{\sqrt{3z}} - \chi_2 - \frac{\chi'_2}{\sqrt{3z}}} \right) (2\chi_2 + \chi'_2) + (2\chi_1 + \chi'_1)}$$

$$S_2 = \frac{i}{\frac{K_1}{K_2} \left(\frac{\frac{\chi_2}{\sqrt{3z}} - \chi_2 - \frac{\chi'_2}{\sqrt{3z}}}{\chi_1 - \frac{\chi_1}{\sqrt{3z}} + \frac{\chi'_1}{\sqrt{3z}}} \right) (2\chi_1 + \chi'_1) + (2\chi_2 + \chi'_2)}$$

Зная коэффициенты S_1 и S_2 , мы можем отыскать вид функции сечения поглощения σ . Согласно формуле (1), получаем

$$\begin{aligned} \sigma &= \frac{1}{2} \left(\frac{8\pi}{cH_0^2} \right) \operatorname{Re} \int \mathbf{j}_\varphi \mathbf{E}_\varphi^* d^3r \\ &= 48\sigma_0 y^2 \int_0^1 \left(S_1 \frac{\chi_1}{K_1} + S_2 \frac{\chi_2}{K_2} \right) (S_1^* \chi_1^* + S_2^* \chi_2^*) \xi^2 d\xi, \end{aligned} \quad (12)$$

где $\sigma_0 = \pi^2 n e^2 V_f R^4 / (2mc^3)$; n — концентрация носителей заряда; S_1^* , S_2^* , χ_1^* и χ_2^* — соответствующие комплексно-сопряженные величины.

Также значение интеграла (12) можно найти из уравнения для поглощения представленного в [10]

$$\sigma = 4\pi\omega\alpha'_m V/c,$$

где α'_m — магнитный момент, вычисляемый по формуле $\alpha'_m = -icC_3/(\omega H_0 V)$; V — объем частицы.

Производя подстановки и замены, получаем формулу для поглощения энергии

$$\sigma = -\sigma_0 \frac{48y}{w^2} \operatorname{Re}(C_3). \quad (13)$$

Таким образом,

$$F_\sigma(x, y, w) = -\frac{48y}{w^2} \operatorname{Re}(C_3).$$

Уравнения (12) и (13) эквивалентны. Это обстоятельство допускает возможность использования для расчетов сечения поглощения метод, в котором отсутствует интегральное исчисление, что во многом ускоряет процесс вычисления.

Обсуждение результатов

Полученная в результате расчета функция поглощения позволяет описать процесс поглощения электромагнитной энергии для частиц различного размера.

Для частиц, у которых линейные размеры сопоставимы с длиной свободного пробега электронов, уравнения макроскопической электродинамики перестают быть справедливыми. На рис. 1 представлена зависимость функции $F(x, y, w)$ поглощения от безразмерной частоты падающего излучения y для частиц, радиус которых равен длине свободного пробега электронов ($x = 1$), в случае, когда параметр $w = 3$. Расчеты показывают, что значения функции F_σ отличаются от классического результата, полученного в рамках классической электродинамики [10,11],

$$F_{cl}(x, y) = -\frac{24y}{w^2} \left(\frac{1}{k^2} - \frac{\operatorname{sh}(2k) + \sin(2k)}{k(\operatorname{ch}(2k) - \cos(2k))} \right),$$

где

$$k = w \sqrt{\frac{y}{2x}}.$$

Кинетический рост F_0 , не учитывающий влияние скин-эффекта, также не способен учесть всех особенностей поведения электронов поверхности частицы. Учет скин-эффекта приводит к уменьшению поглощения по сравнению с F_0 , так как учитывает экранировку поля внутри частицы.

Расчеты, представленные на рис. 2, показывают, что при значении параметра $w = 0.1$ результаты, полученные в данной работе (F_σ), практически совпадают по своим значениям с F_0 , полученными в результате точного кинетического расчета без учета влияния скин-эффекта. Отметим, что при данном значении параметра w скин-эффект и не должен существенным образом проявляться. Так что указанное совпадение говорит о точности предложенного метода. В то же время при значении параметра $x = 1$ макроскопическая электродинамика не описывает адекватно рассматриваемый процесс поглощения, что наблюдается в поведении кривой F_{cl} .

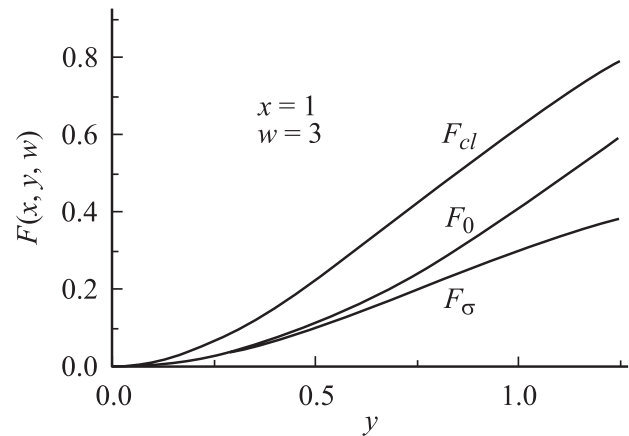


Рис. 1.

Обратная ситуация наблюдается при значении $x = 10$ на рис. 3. Здесь при наличии выраженного скин-эффекта ($w = 10$) большой размер частицы (по сравнению с длиной свободного пробега электронов) приводит к тому, что результат, соответствующий классическому макроскопическому расчету F_{cl} , правильно описывает характер поглощения. Об этом свидетельствует сходство классических макроскопических результатов с F_{σ} . В то же время расчет, проведенный без учета скин-эффекта, дает сильно завышенный результат для сечения поглощения.

На рис. 4 представлена зависимость функции поглощения при значениях параметров $x = 0.1$ и $w = 3$. График свидетельствует о том, что при небольших значениях безразмерной частоты y поведение функции F_{σ} совпадает с F_0 , т.е. при низких частотах влияние скин-эффекта на поглощение не проявляется. В то же время наблюдается существенное отличие от результатов, соответствующих классической электродинамике F_{cl} . Это связано с тем, что величина x мала и влияние рассеяния электронов на поверхности частицы существенно для рассматриваемого процесса. При увеличении y нарас-

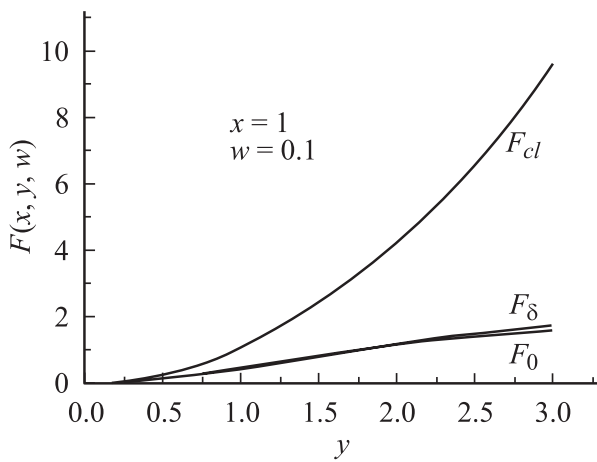


Рис. 2.

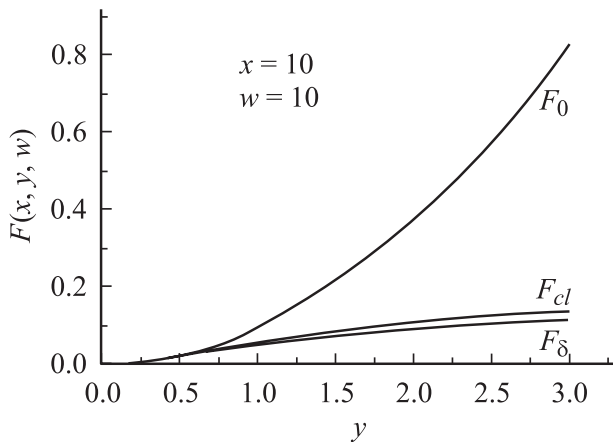


Рис. 3.

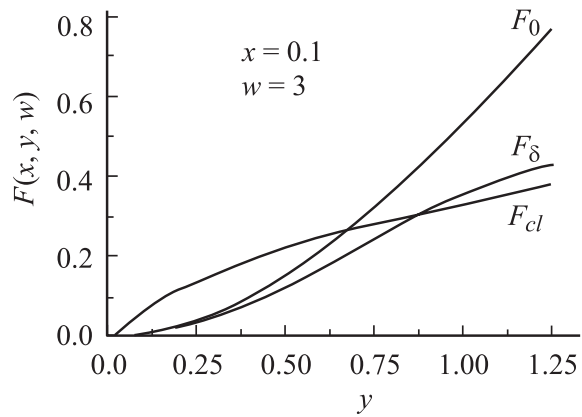


Рис. 4.

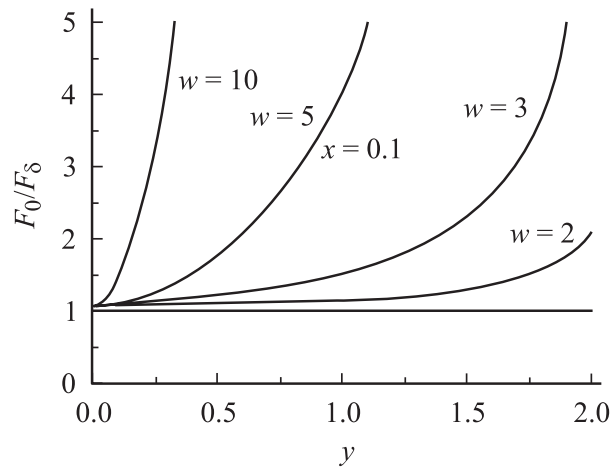


Рис. 5.

тает различие между F_{σ} и F_0 , что связано с ростом влияния скин-эффекта. В то же время кривые F_{σ} и F_{cl} сближаются.

Рис. 5 демонстрирует отношения значений функций $F(x, y, w)$ поглощения, рассчитанных без учета скин-эффекта F_0 с F_{σ} . Из рисунка видно, что влияние скин-эффекта проявляется с ростом частоты тем сильнее, чем больше значение параметра w .

Список литературы

- [1] Петров Ю.И. Физика малых частиц. М.: Наука, 1984. Гл. 7.
- [2] Морохов И.Д., Петин В.И., Трусов Л.И., Петрунин В.Ф. // УФН. 1981. Т. 133. С. 653.
- [3] Лесский А.Г., Пастернак В.Е., Юшканов А.А. // ЖЭТФ. 1982. Т. 83. С. 310–317.
- [4] Лесский А.Г., Юшканов А.А., Яламов Ю.И. // Поверхность. 1987. № 11. С. 115–121.
- [5] Томчук П.М., Томчук Б.П. // ЖЭТФ. 1997. Т. 112. Вып. 2(8). С. 661–676.
- [6] Завитаев Э.В., Юшканов А.А., Яламов Ю.И. Поглощение электромагнитного излучения цилиндрической частицей конечной длины. Деп. в ВИНТИ. № 2140-В. 2001. 24 с.

- [7] *Займан Дж.* Электроны и фононы. М.: ИЛ, 1973. Гл. 13. 488 с.
- [8] *Харрисон У.* Теория твердого тела. М.: Мир, 1972.
- [9] *Ландау Л.Д., Лившиц Е.М.* Теоретическая физика. Т. 10. Физическая кинетика. М.: Наука, 1979. 528 с.
- [10] *Ландау Л.Д., Лившиц Е.М.* Электродинамика сплошных сред. М.: Наука, 1992. 664 с.
- [11] *Морс Ф.М., Фейнбах Г.* Методы теоретической физики. М.: ИЛ, 1958. Т. 1. Гл. 3. 930 с.